

- [6] Fujii T. // Int. J. Mass. Spectrom. and Ion Processes. 1984. V. 57. P. 163-174.  
[7] Александров М.Л., Галль Н.Р., Красков Н.В., Куснер Ю.С., Николаев В.И. // Письма в ЖЭТФ. 1985. Т. 41. № 5. С. 203-205.

Поступило в Редакцию  
5 апреля 1990 г.

Письма в ЖТФ, том 16, вып. 12

26 июня 1990 г.

02; 07

© 1990

## МОДЕЛЬ ДЛЯ ОПИСАНИЯ ИЗЛУЧЕНИЯ КОРОТКОЖИВУЩИХ УСИЛИВАЮЩИХ СРЕД

М.Я. Амусья, М.Л. Шматов

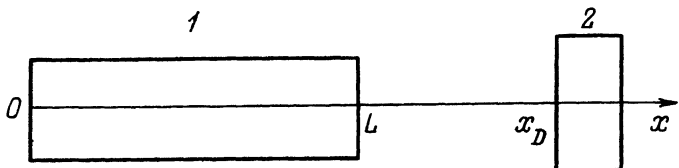
Предлагается простая модель для описания вынужденного излучения лазеров без зеркал, учитывающая динамическую эволюцию параметров среды.

В работах [1-6] для описания излучения инверсных сред, создаваемых при действии мощных лазеров на различные мишени, использованы выражения, полученные в предположении пространственного и временного постоянства параметров среды. Длина среды  $L$  в этих экспериментах порядка 1 см. Время прохождения светом такого пути  $t_L = L/c$  ( $c$  - скорость света) - порядка  $10^{-11}-10^{-10}$  с, что сопоставимо с временем изменения параметров систем [7-10]. В работе [7] показаны результаты численного расчета интенсивности излучения в зависимости от времени. В работе [8] эта зависимость изучалась экспериментально при различных значениях  $L$ .

Мы рассматриваем одномерную модель без насыщения усиления. Для определенности положим, что среда имеет форму цилиндра, на оси которого в точке  $x=X_d$  находится детектор (см. рисунок). Система резко включается в момент  $t=0$ . Полагаем, что при  $t \geq 0$  число фотонов  $\Delta N_{Sp}$ , спонтанно излученных в нужном направлении участком длиной  $dx$  за время  $dt$ , определяется выражением

$$\Delta N_{Sp} = j_0 \exp(-t/\tau) dt dx, \quad (1)$$

коэффициент усиления  $\alpha$  изменяется по закону  
 $\alpha(t) = \alpha_0 \exp(-t/\tau).$  (2)



Геометрия системы. 1 – инверсная среда, 2 – детектор.

Подобная зависимость  $\alpha(t)$  выбрана на основании данных работы [10], где начальный рост  $\alpha$  происходит быстрее спада. Использование одной постоянной времени  $\tau$  в (1) и (2) позволяет описать излучение простыми аналитическими выражениями; физически такое приближение можно оправдать следующим образом. Предположим, что взаимодействие излучения и среды происходит только при переходах между верхним и нижним лазерными уровнями. Тогда  $\alpha \sim (N_u - N_l g_u / g_l) \frac{\Gamma_{rad}}{\Gamma_{rot}}$ , где  $N_u$  и  $N_l$ ,  $g_u$  и  $g_l$  – концентрации и статистические веса атомов или ионов на верхнем и нижнем лазерном уровне соответственно,  $\Gamma_{rad}$  – излучательная ширина перехода,  $\Gamma_{tot}$  – полная ширина линии [11]. Если  $N_l \rightarrow 0$ , а  $\Gamma_{tot}$  не меняется со временем, то зависимость  $\alpha$  от времени можно описать выражением  $\alpha \sim N_u$ . Оба этих условия выполняются при достаточно быстром распаде нижнего уровня. Интенсивность спонтанного излучения также пропорциональна концентрации возбужденных атомов или ионов. В этой работе мы не учитываем эффекты, которые могут быть связаны с радиальным разлетом среды, ограничиваясь одномерной моделью.

Очевидно, что первые фотонны попадут в детектор при  $t = (x_D - L)/c$ . В более позднее время в детектор будут попадать фотонны, излученные в различные моменты  $t'$  областями с продольной координатой  $x'$ , причем  $t'$  естественно связано с  $x'$ . Пренебрегая различием скоростей распространения света в среде и в вакууме, получаем

$$t = t' + (x_D - x')/c. \quad (3)$$

Для описания интенсивности излучения удобно ввести время  $t$ , отсчитываемое от момента прихода к детектору первых фотонов:  $t = t - (x_D - L)/c$ . Тогда (3) можно переписать в виде:  $t' = t + (x' - L)/c$ . Так как, очевидно,  $t' \geq 0$ , то  $x' \geq L - ct$ . Это означает, что при  $0 \leq t \leq t_L$  в детектор могут попасть только фотонны, излученные областью  $L - ct \leq x' \leq L$ . При  $t \geq t_L$  условие  $t' \geq 0$  выполнено тождественно и  $0 \leq x' \leq L$ . Обозначим количество фотонов, попадающих в детектор за единицу времени, через  $I$ ;  $I_c = c\tau$ . Используя для описания спонтанного излучения (3) и (1) и рассмотрев его усиление при прохождении сквозь

среду через  $x' \leq x \leq L$  с помощью (2) и выражения  $\alpha = \alpha_0 + c(t - t')$ , после проведения интегрирования сперва по  $x$ , затем по  $x'$  получаем при  $0 \leq t_1 \leq t_L$ :

$$I = \frac{j_0}{\alpha_0} \left\{ \exp[\alpha_0 l_c (1 - e^{-t_1/\tau})] - 1 \right\}, \quad (4)$$

при  $t_1 \geq t_L$

$$I = \frac{j_0}{\alpha_0} \left\{ \exp[\alpha_0 l_c (e^{L/l_c} - 1) e^{-t_1/\tau}] - 1 \right\}. \quad (5)$$

Величина  $I$  достигает максимального значения при  $t_1 = t_L$ . Если  $L \gg l_c$ , то при  $0 \leq t_1 \leq t_L$

$$I \approx \frac{j_0}{\alpha_0} [e^{\alpha_0 L t_1} - 1], \quad (4a)$$

при  $t_1 \geq t_L$

$$I \approx \frac{j_0}{\alpha_0} [\exp(\alpha_0 L e^{-t_1/\tau}) - 1]. \quad (5a)$$

При конечном значении  $L/l_c$  приближения (4 а) и (5 а) применимы, если  $\alpha_0 L$  не очень велико (см. ниже).

Зависимость  $\alpha(t)$ , полученную в работе [10], можно приблизенно описать в рамках нашей модели, положив  $\alpha_0 = 7.7 \text{ см}^{-1}$  и  $\tau = 1.4 \cdot 10^{-10} \text{ с}$ . Оценка с использованием выражений (4) и (5) показывает, что при  $L = 1-2 \text{ см}$  и времени, близком к  $t_L$ , для измерения интенсивности излучения с точностью 20-30 % требуется временное разрешение приблизительно  $10^{-11} \text{ с}$ .

Для определения полного числа фотонов  $N$ , попавших в детектор за все время, удобно не интегрировать (4) и (5) по времени, а рассмотреть усиление при прохождении сквозь среду спонтанного излучения (1) от каждого участка за все время. Выполнив интегрирование по пути сквозь среду и затем по моменту излучения, получаем

$$N = \frac{j_0}{\alpha_0 c} \int_0^L dz \frac{\{\exp[\alpha_0 l_c (1 - e^{-z/l_c})] - 1\}}{1 - \exp(-z/l_c)}, \quad (6)$$

где  $z$  – расстояние от точки спонтанного излучения до  $x = L$ .

При  $L_c \gg L$  экспоненту в знаменателе подынтегрального выражения можно разложить до 2-х первых слагаемых. В числителе сохраним еще один член разложения. При  $\alpha_0 L \gg 1$  основной вклад в интеграл вносится при больших, близких к  $L$ , значениях  $z$ . Можно ограничиться узкой областью интегрирования шириной порядка  $1/\alpha_0$  и пренебречь зависимостью интеграла от

нижнего предела, учитывая только то, что этот предел отличается от  $L$  на величину порядка  $1/\alpha_0$ . Подынтегральное выражение в пределах новой области интегрирования аппроксимируем формулой  $\text{const} \cdot \exp(\alpha_0 z)$ , собрав в константу все сомножители, которые по сравнению с  $\exp(\alpha_0 z)$  слабо изменяются при изменении  $z$  на величину порядка  $1/\alpha_0$ , подставив в них  $z = L$ . Интеграл от экспоненты приблизительно равен  $(1/\alpha_0) \exp(\alpha_0 L)$ . Получаем выражение:

$$N \approx \frac{j_0 L_c}{\alpha_0^2 c L} \exp\left[\alpha_0 L \left(1 - \frac{L}{2L_c}\right)\right]. \quad (6a)$$

Видно, что в (6a) при  $\alpha_0 L = 15$  и  $L/L_c = 1/3$  неучет второго слагаемого в выражении под знаком экспоненты приводит к разнице в 12 раз.

Выбранная модель изменения параметров системы со временем не полностью совпадает с результатами численного моделирования [7], [10]. Тем не менее, мы предлагаем использовать выражение вида (6) и, если возможно, (6a) для определения подгологических параметров  $\alpha_0$  и  $L_c$  из результатов экспериментов.

Возможно, использование перемещающегося возбуждения, например, при наклонном падении возбуждающего луча [11], при подборе его параметров позволит увеличить выходящее излучение даже при небольших  $L \approx 1$  см. При этом может оказаться, что оптимальный угол между возбуждающим лучом и поверхностью мишени будет не очень острым.

Эта модель не объясняет уменьшения излучения с ростом  $L$  [4-7]. Возможные причины этого эффекта будут рассмотрены отдельно.

#### Список литературы

- [1] Rosen M.D., Hagelestein P.L., Matthews D.L. et al. // Phys. Rev. Lett. 1985. V. 54. N 2. P. 106-109.
- [2] Matthews D.L., Hagelestein P.L., Rosen M.D. et al. // Phys. Rev. Lett. 1985. V. 54, N 2. P. 110-113.
- [3] MacGowan B.J., Maxon S., Hagelestein P.L. et al. // Phys. Rev. Lett. 1987. V. 59. N 19. P. 2157-2160.
- [4] MacGowan B.J., Maxon S., Keane C.J. et al. // J. Opt. Soc. Am. B. 1988. V. 5. N 9. P. 1858-1863.
- [5] Kuroda H., Muroo K., Naito K., Tanaka Y. // Techn. Rep. ISSP. 1988. Ser.A. N 1955. P. 1-17.
- [6] Muroo K., Tanaka Y., Kuroda H. // Techn. Rep. ISSP. 1988. Ser. A. N 1956. P. 1-18.

- [7] Matthews D., Rosen M., Brown S. et al. // J. Opt. Soc. Am. B. 1987. V. 4. N 4. P. 575-587.
- [8] Ceglio N.M. // Laser Interaction and Related Plasma Phenomena. 1986. V. 7 P. 39-51.
- [9] Nakano N., Kuroda H. // Phys. Rev. A. 1987. V. 35. N 11. P. 4712-4718; 4719-4728.
- [10] Maxon S., Dahlberg S., Hagedstein P.L. et al. // Phys. Rev. Lett. 1989. V. 63. N 3. P. 236-239; N 17. P. 1896.
- [11] Dugay M. // Phys. og Quantum Electronics. 1976. V. 3. P. 557-579.

Поступило в Редакцию  
20 марта 1990 г.

Письма в ЖТФ, том 16, вып. 12

26 июня 1990 г.

06.1; 06.2

© 1990

**БИПОЛЯРНЫЙ ПЕРЕНОС НОСИТЕЛЕЙ ЗАРЯДА  
В АМОРФНЫХ ПЛЕНКАХ  $As_2Se_3$ ,  
ПОЛУЧЕННЫХ МЕТОДОМ ВЧ-РАСПЫЛЕНИЯ**

Ш.Ш. Сарсембиноев, О.Ю. Приходько,  
М.Ж. Мальтекбасов, С.А. Джакепов,  
С.Я. Максимова, В.Л. Аверьянов

В работах [1-3] показано, что условия и способ приготовления халькогенидных стеклообразных полупроводников (ХСП) в значительной степени влияют на их физико-химические свойства и особенности фотоструктурных превращений. Процессы переноса носителей заряда при этом практически не исследовались.

Известно [4, 5], что в массивных образцах ХСП составов  $As-Se$  и  $As-S$  и тонких пленках этих ХСП, полученных термическим испарением в вакууме, перенос заряда осуществляется носителями одного знака — дырками из-за значительного (~ на три порядка величины) превышения подвижности дырок над подвижностью электронов. Величина дрейфовой подвижности дырок для состава  $As_2Se_3$  составляет ~  $10^{-5}$  см<sup>2</sup>/В·с при T = 300 К и напряженности электрического поля E =  $10^5$  В/см.

В данной работе приводятся результаты исследования переноса носителей заряда в пленках модельного ХСП — селенида мышьяка